

$$\frac{da_3}{dt} + \beta_3 a_3 = \frac{k_3}{4i\omega_3} a_1 a_2 B_{12}.$$

Здесь B_{23} , B_{13} , B_{12} — соответствующие выражения в фигурных скобках системы (8), β_j — временные коэффициенты затухания волн.

Решая систему (14) в приближении заданного поля ($|a_3| = \text{const}$), находим выражение для пороговой амплитуды a_3 :

$$|a_3|_{\text{пор}}^2 = \frac{16\beta_1\beta_2\omega_1\omega_2}{B_{13}B_{23}k_1k_2}.$$

Определим, какова частотная зависимость и величина пороговой амплитуды. Для капиллярных волн в воде при комнатной температуре $\beta \approx 3 \cdot 10^{-3} \omega^2 / (2\pi k) \text{ с}^{-1}$ [17], $\tau/\rho \approx 74 \text{ дн/см}$. Далее, из (8) видно, что $B_{13} \sim B_{23} \sim \omega^2$. Тогда

$$|a_3|_{\text{пор}}^2 \approx 10^{-3} \omega^{-2/3} \text{ см}^2.$$

Для частоты $\omega \approx 2\pi \cdot 40 \text{ с}^{-1}$ пороговая амплитуда $a_{\text{пор}} \approx 10^{-2} \text{ см}$.

Таким образом, пороговая величина амплитуды параметрического распада капиллярной волны на две другие волны — экспериментально достижимая величина.

Автор благодарит Л. К. Зарембо за консультацию.

СПИСОК ЛИТЕРАТУРЫ

- [1] Phillips O. M. J. Fluid Mech., 1960, 9, p. 193. [2] Longuet-Higgins M. S. J. Fluid Mech., 1961, 12, p. 321. [3] McGoldrick L. F. J. Fluid Mech., 1965, 21, p. 305. [4] Зарембо Л. К., Красильников В. А., Тхай Тхань Лонг. Вестн. Моск. ун-та. Физ. Астрон., 1969, № 5, с. 132. [5] Зарембо Л. К., Красильников В. А., Тхай Тхань Лонг. Там же, № 6, с. 121. [6] Зарембо Л. К., Красильников В. А., Тхай Тхань Лонг. ДАН СССР, 1970, 192, № 3, с. 548. [7] Воронин В. П., Зарембо Л. К. Вестн. Моск. ун-та. Физ. Астрон., 1970, № 6, с. 717. [8] Banerjee P. P., Korpel A. Phys. Fluids, 1982, 25, p. 1938. [9] Yan-Chow Ma. Phys. Fluids, 1982, 25, p. 945. [10] Yan-Chow Ma. Phys. Fluids, 1983, 26, p. 30. [11] Meadows G. A., Shuchman R. A., Lyden J. D. J. Geophys. Res. — O(C), 1982, 87, p. 5731. [12] Davies A. G. J. Marine Res., 1982, 40, p. 331. [13] Андреев А. Ф., Компанеев Д. А. ЖЭТФ, 1971, 61, с. 2459. [14] Пушкина Н. И. ЖЭТФ, 1984, 86, с. 133. [15] Ландау Л. Д., Лифшиц Е. М. Механика сплошных сред. М.: ГИТТЛ, 1953, с. 291. [16] Камке Э. Справочник по обыкновенным дифференциальным уравнениям. М.: Наука, 1978, гл. IX, с. 544. [17] Воронин В. П. Канд. дис. М. (МГУ), 1972. с. 79.

Поступила в редакцию
14.11.83

ВЕСТН. МОСК. УН-ТА. СЕР. 3. ФИЗИКА. АСТРОНОМИЯ, 1984, т. 25, № 4

УДК 539.172.3 : 519.25

РЕДУКЦИОННАЯ ОБРАБОТКА И ОЦЕНКА СЕЧЕНИЙ ФОТОЯДЕРНЫХ РЕАКЦИЙ

В. В. Варламов, Б. С. Ишханов, Ю. П. Пытьев, А. П. Черняев, Д. В. Юдин
(НИИЯФ; кафедра математики)

1. Введение. Известно, что сечения фотоядерных реакций, полученные на фотонных пучках тормозного (ТИ) и квазимонохроматического (КМИ) γ -излучения (последнее возникает при аннигиляции на легу ускоренных позитронов), согласуясь в целом по форме, положению и величине, обнаруживают тем не менее систематические расхождения

[1]. Главные из них заключаются в том, что КМИ-сечения имеют меньшие на 10—20% абсолютные значения и существенно более слабые структурные особенности по сравнению с ТИ-сечениями. В работе [2] показано, что эти систематические расхождения обусловлены отличием формы реального КМИ-спектра фотонов от δ -функции: наличием довольно значительной ($\Delta = 0,3\text{--}0,5$ МэВ) полуширины линии и тормозной подложки с амплитудой D в несколько (до 10!) процентов от амплитуды линии в спектре. Подложка, являясь основной причиной неточностей в определении абсолютных величин сечений, дополнительно сглаживает их структурные особенности.

Было показано, что форма реального КМИ-спектра затрудняет интерпретацию результата традиционного КМИ-эксперимента как собственно сечения, так как на самом деле доступной оказывается лишь информация о выходе, связанном с сечением реакции интегральным уравнением

$$Y(E_\gamma^{\max}) = \alpha \int W(E_\gamma, E_\gamma^{\max}) \sigma(E_\gamma) dE_\gamma, \quad (1)$$

где в отличие от ТИ-экспериментов $W(E_\gamma, E_\gamma^{\max})$ — это не спектр Шиффа, а КМИ-спектр, $\sigma(E_\gamma)$ — сечение реакции.

Таким образом, задача определения КМИ-сечения оказывается аналогичной задаче нахождения ТИ-сечения и требует для восстановления сечения σ из выхода Y при данном W использования одного из известных методов решения уравнения (1). В работе [2] использовался метод регуляризации Тихонова, и было показано, что восстановленное таким образом КМИ-сечение оказывается по своим характеристикам существенно более близким к соответствующему ТИ-сечению.

В данной работе для решения задачи восстановления сечения использовался метод редукции, позволяющий проанализировать и наглядно проиллюстрировать взаимосвязь параметров «разрешение — шум» в математической модели и оценить ее качество.

2. Математическое моделирование фотоадресного эксперимента.

В реальном физическом эксперименте вместо уравнения (1) имеем

$$\begin{pmatrix} Y_1 \\ \vdots \\ Y_N \end{pmatrix} = \begin{pmatrix} W(1,1) & \dots & W(1,N) \\ \vdots & & \vdots \\ W(N,1) & \dots & W(N,N) \end{pmatrix} \begin{pmatrix} \sigma_1 \\ \vdots \\ \sigma_N \end{pmatrix} + \begin{pmatrix} v_1 \\ \vdots \\ v_N \end{pmatrix}, \quad (2)$$

где N — число измерений при различных верхних границах γ -спектра, v_i ($i=1, \dots, N$) — ошибки измерений, заданные корреляционным оператором

$$\Sigma = \begin{pmatrix} \Delta\sigma_1^2 & & 0 \\ & \ddots & \\ 0 & & \Delta\sigma_N^2 \end{pmatrix}$$

В случае ТИ матрица W — треугольная, т. е.

$$W_{\text{ТИ}} = \begin{pmatrix} \text{штрихованная область} & & 0 \\ & \ddots & \\ & & \text{штрихованная область} \end{pmatrix}$$

в случае КМИ

$$W_{\text{КМИ}} = \left(\begin{array}{c} \text{шaded triangle} \\ \sim \text{O} \end{array} \right)$$

Естественно, что как W_T , так и $W_{\text{КМ}}$ не совпадают с единичной матрицей, вследствие чего значения Y_i в таких экспериментах не совпадают со значениями сечения. Задача обработки, таким образом, сводится к преобразованию вектора Y к виду, который он имел бы при наличии γ -спектра, максимально приближенного к монохроматическому, при определенном уровне ошибок.

3. **Задача редукции к идеальному прибору.** В линейной конечномерной модели $[A, \Sigma]$ измерения сигнала f можно представить в виде

$$\xi = Af + v,$$

где вектор ξ — результат измерения на приборе A , линейный оператор A и шум v с заданным корреляционным оператором Σ характеризуют способ регистрации f [3].

Запишем линейное преобразование равенства (3):

$$R\xi = If + (RA - I)f + Rv.$$

Если $RA = I$, то $R\xi$ интерпретируется как искаженный шумом Rv выходной сигнал идеального прибора I , заданного единичной матрицей. Однако находить R из условия $RA = I$ нецелесообразно, так как соответствующий уровень шума в реальных задачах велик. Небольшое увеличение невязки $(RA - I)f$ позволяет существенно снизить шум Rv .

Поскольку для каждого R эффект ошибки Rv известен и определяется энергией шума $E|Rv|^2$, а ошибка $(RA - I)f$ проявляется как ложный сигнал, неизвестный, как и сигнал f , то возможна следующая постановка задачи:

$$\inf \{ \|RA - I\|_2 | E\|Rv\| \leq \varepsilon \} = \|R_\varepsilon A - I\|_2^2, \quad (4)$$

где $\|RA - I\|_2 = [\text{Tr}(RA - I)(RA - I)^*]^{1/2}$. Если R_ε — решение (4), то вектор $R_\varepsilon \xi$ можно рассматривать как искаженный шумом $R_\varepsilon v$ выходной сигнал прибора $R_\varepsilon A$ ближайшего к I , при заданном ограничении на уровень шума $E\|R_\varepsilon v\|^2 \leq \varepsilon$. Решение задачи (4) имеет вид

$$R_\varepsilon = \begin{cases} R(\omega) = A^*(AA^* + \omega\Sigma)^{-1}, & \omega = \omega_\varepsilon, 0 < \varepsilon < h(0), \\ 0, & \varepsilon = 0, \\ (A^*A)^{-1}A^*, & \varepsilon \geq h(0), \end{cases}$$

где $h(0) = \text{Tr}(A^*\Sigma^{-1}A)^{-1}$, в случае невырожденности операторов Σ и A^*A ω_ε — единственный корень уравнения

$$h(\omega) = \|R(\omega)v\|^2 = \|R(\omega)\Sigma^{1/2}\|_2^2 = \|A^*(AA^* + \omega\Sigma)^{-1}\Sigma^{1/2}\|_2^2 = \varepsilon.$$

При этом имеет место закон сохранения

$$\omega \frac{dh(\omega)}{d\omega} + \frac{dg(\omega)}{d\omega} = 0, \quad \omega \geq 0,$$

где $g(\omega) = \|RA - I\|_2^2$ — невязка, т. е. отличие RA от I .

Связь между невязкой $g(\omega) = g$ и уровнем шума $h(\omega) = h$ при $\omega \geq 0$ или $g = g(h)$ называется оперативной характеристикой задачи (4). Оперативная характеристика сопоставляет (рис. 1) разрешение комп-

лекса «ЭВМ+прибор» и уровень шума Rv (своеобразный закон сохранения типа «разрешение — шум»). Для данного ε выбирается оптимальный параметр ω (оператор R_ω), так что $R_\omega A$ — ближайший к I , а уровень шума ограничен неравенством $E\|R_\omega v\|^2 \leq \varepsilon$. Оперативная характеристика для каждого R определяет ошибку редукции и, естественно, отражает качество редукции для конкретной экспериментальной модели $[A, \Sigma]$, т. е. качество модели $[A, \Sigma]$.

Рассмотрим схему измерения сигнала, полученного на приборе $A' : \xi' = A'f + v'$, $[A', \Sigma']$. Редукция к идеальному прибору для модели

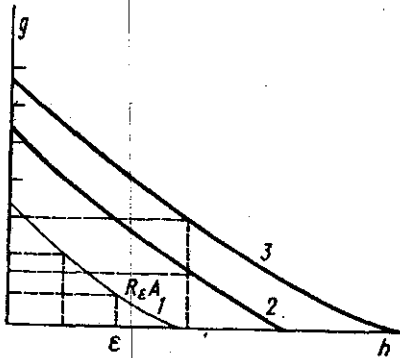


Рис. 1. Общий вид оперативной характеристики $g = g(h)$ задачи (4) — 1, модели $[A', \Sigma']$ — 2 и модели $[A, \Sigma]$ — 3. Качество модели $[A', \Sigma']$ выше качества модели $[A, \Sigma]$

$[A', \Sigma']$ дает ее оперативную характеристику. Будем говорить, что качество модели $[A', \Sigma']$ выше, чем качество $[A, \Sigma]$, если оперативная характеристика первой «лежит» ниже оперативной характеристики второй (см. рис. 1). Лучшей модели, таким образом, соответствует меньшая ошибка редукции (для любого ограничения ε на уровень шума $[A', \Sigma']$ позволяет лучше приблизиться к идеальному прибору). При пересечении оперативных характеристик сравниваемых моделей однозначно ответить на вопрос, качество какой модели выше, можно только отдельно для областей $h < \varepsilon'$ и $h > \varepsilon'$, где ε' — значение h в точке пересечения. Следует отметить, что оперативная характеристика объединенной модели, описывающей два эксперимента:

$$\begin{pmatrix} \xi \\ \xi' \end{pmatrix} = \begin{pmatrix} A \\ A' \end{pmatrix} f + \begin{pmatrix} v \\ v' \end{pmatrix}, \quad [\tilde{A}, \tilde{\Sigma}], \quad (5)$$

где $\tilde{A} = \begin{pmatrix} A \\ A' \end{pmatrix}$, $\tilde{\Sigma} = \begin{pmatrix} \Sigma & 0 \\ 0 & \Sigma' \end{pmatrix}$, будет проходить ниже характеристик исходных, а значит, модель $[\tilde{A}, \tilde{\Sigma}]$ будет лучшего качества. Схема (5) может включать произвольное количество измерений (желательно различных по своей физической природе), учет которых дополнительно снижает ошибку редукции и повышает надежность ее результатов.

4. Редукция выходов. С целью иллюстрации возможностей метода редукции, а также для сравнения качества экспериментов различного типа были выполнены модельные расчеты. Модельное сечение, содержащее ряд максимумов, подставлялось в уравнение (2), с помощью которого для спектров γ -излучения двух типов (ТИ и КМИ с различными полуширинами Δ) рассчитывались выходы реакции. Модельные ошибки соответствовали реальным ошибкам экспериментов. Результаты редукции полученных таким образом выходов и соответствующие оперативные характеристики представлены на рис. 2. Видно, что уменьшение ошибок редукции сопровождается ростом невязки, а следовательно, и ухудшением разрешения. Качество КМИ-моделей оказывается тем выше, чем меньше полуширина линий в КМИ-спектре, однако при реальных ошибках в экспериментальных КМИ-выходах (5—10%) их оперативные характеристики оказываются существенно выше ТИ-характеристики (ошибки выхода $\sim 0,1\%$).

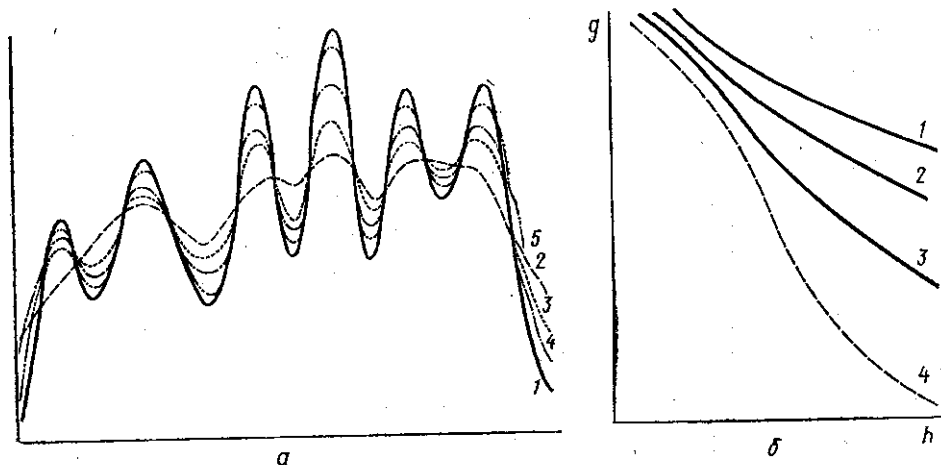


Рис. 2. Варианты восстановления модельного сечения: 1 — исходное сечение; 2, 3, 4 — сечения, восстановленные из КМИ-выхода ($\Delta=0,5$ МэВ) с ошибками в сечении соответственно 2, 5 и 10%; 5 — сечение, восстановленное из ТИ-выхода с ошибками в сечении 10% — а. Оперативные характеристики моделей: КМИ ($\Delta=0,5$ (1); 0,3 (2) и 0,2 (3)) и Ти (4) — б

В рамках данного подхода выполнена редуцирующая обработка ряда реальных выходов фотонейтронных реакций. Выбиралась реакция, которые были изучены в ТИ- и КМИ-экспериментах, выполненных на приблизительно одинаковом и достаточно высоком качественном уровне:

5. Фотонейтронное сечение для ^{12}C . КМИ-выход реакции $^{12}\text{C}(\gamma, n)$ [4] (рис. 3, г — точки с ошибками) измерен на пучке КМИ-фотонов, спектр которых включал линию с полушириной $\Delta=0,2-0,3$ МэВ и торозную подложку с амплитудой $D \approx 5\%$. В работе [5] КМИ-выход той же реакции был измерен при аналогичных параметрах $\Delta=0,1-0,2$ МэВ, $D \approx 5\%$. Однако эффективная полуширина Δ оказывалась большей, так как γ -спектр сильно отличается от δ -функции, что не учитывалось авторами [4, 5]. Именно с такими КМИ-спектрами была проведена редуция выходов КМИ-экспериментов согласно схеме, описанной в разделе 3. Ограничение на параметр шума при проведении редуции выбиралось $\sim 5\%$ — порядка величины экспериментальных ошибок в КМИ-выходах. Использовалась цифровая информация из международной машинной библиотеки сечений, соответствующих обзору [1], из фондов Центра данных фотоядерных экспериментов НИИЯФ МГУ. На рис. 3, г (сплошная линия) приведено редуцированное сечение. Следует отметить ряд его характерных свойств:

- отчетливо проявились в виде надежно разрешившихся максимумов структурные особенности, не выходявшие за пределы ошибок в исходных данных;

- не проявилось новых (ложных) максимумов;

- абсолютное значение сечения оказалось на 10% больше значения выхода.

Изменения при переходе от исходного КМИ-выхода к редуцированному сечению происходят в направлении, сближающем это последнее с соответствующим ТИ-сечением [6], приведенным на рис. 3, а. Сравнение данных на рис. 3, а и г выявляет полное согласие по положению максимумов в ТИ- и КМИ-сечениях. В разделе 3 было сказано о преимуществах редуций в рамках объединенной модели. В рам-

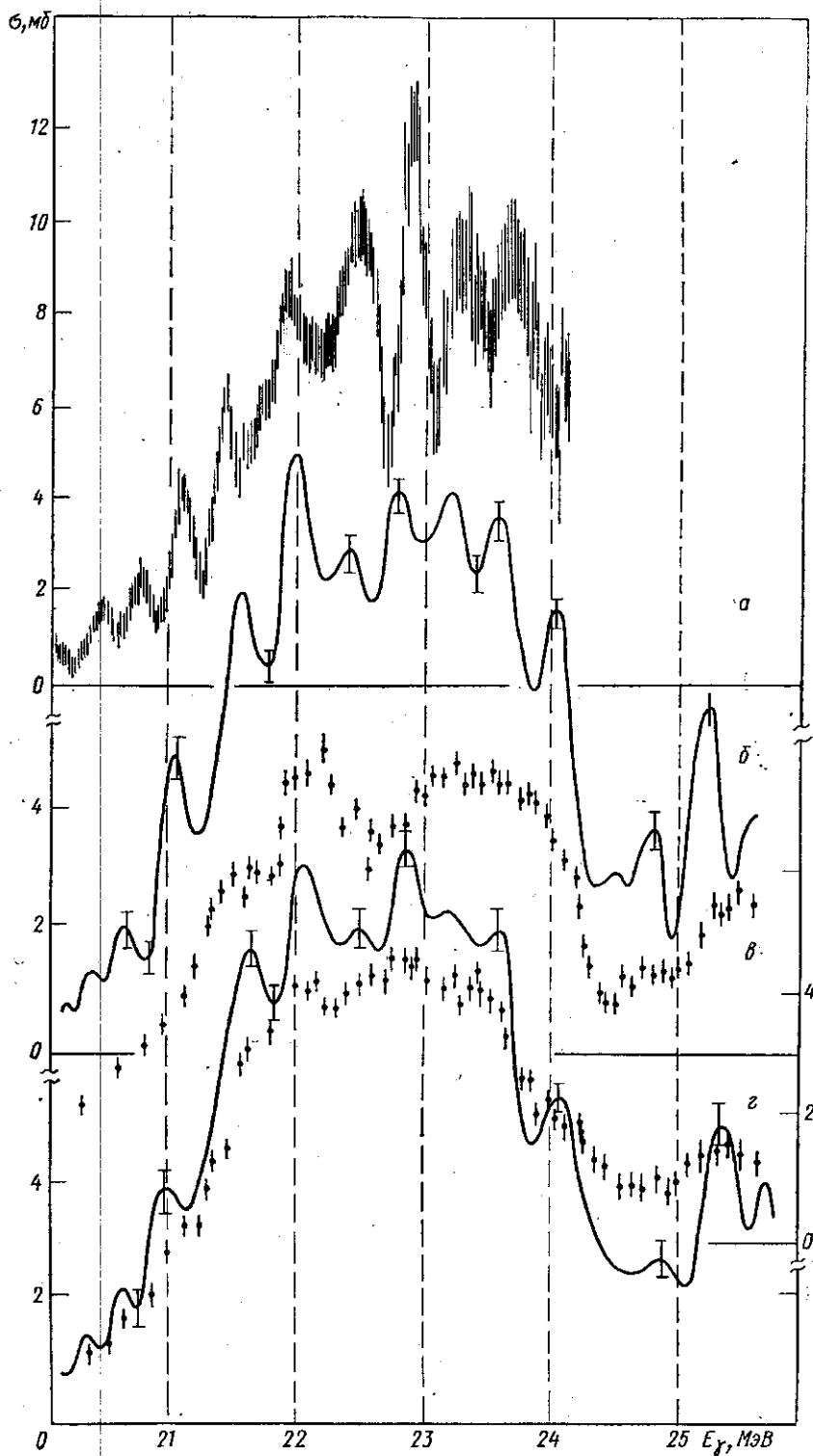


Рис. 3. Сравнение результатов редукции КМИ-выходов с ТИ-сечением для реакции $^{12}\text{C}(\gamma, n)$: сенение из [6] (а); редукция КМИ-выходов из [4, 5] в объединенной модели (б); КМИ-выход из [5] (в); результат редукции (сплошная линия) КМИ-выхода (точки с ошибками) [4] (г)

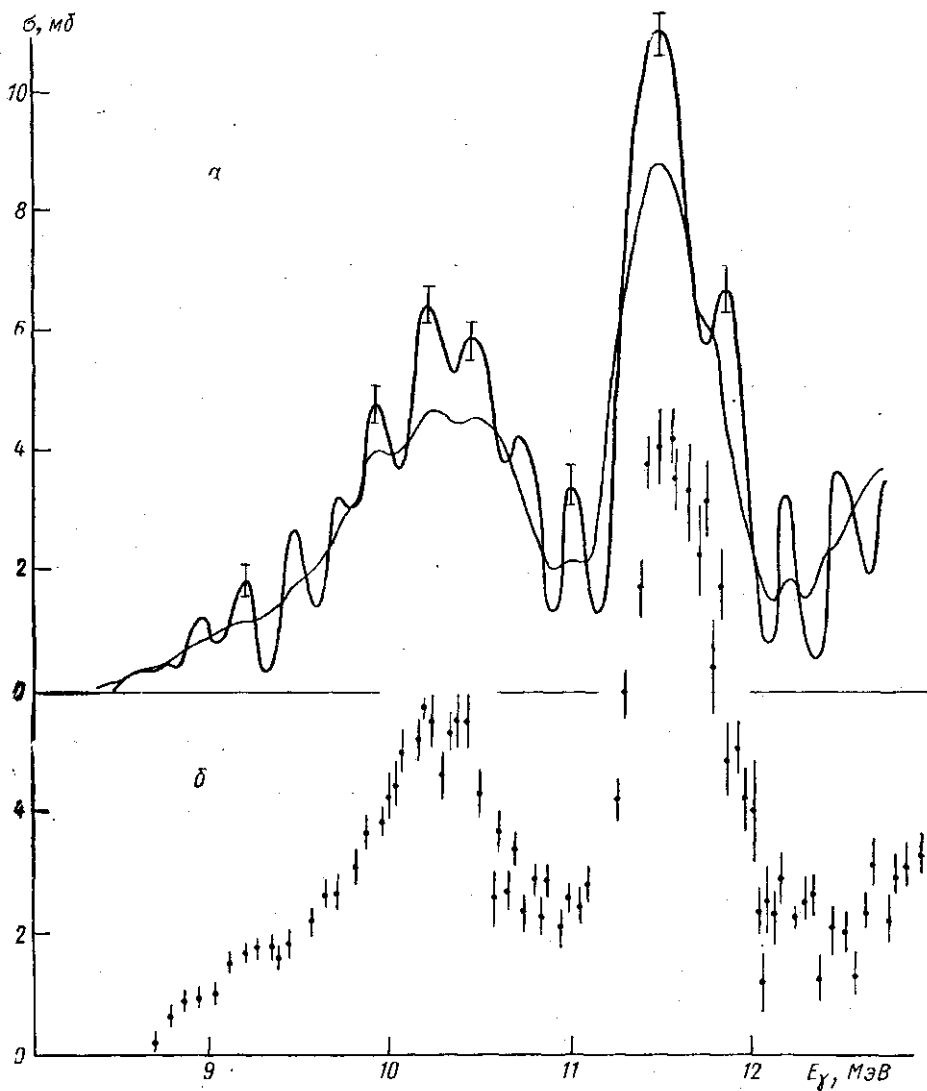


Рис. 4. Редукция сечения реакции $^{18}\text{O} ((\gamma, n) + 2(\gamma, 2n))$: а — тонкая линия — КМИ-выход [7], толстая линия — восстановленное сечение; б — ТИ-сечение [7]

ках модели, включавшей в схему редукции два КМИ-выхода (точки *в* и *г*), было получено сечение, приведенное на рис. 3, б. Сравнение этого сечения с ТИ-сечением (см. рис. 3, а) выявляет уже хорошее согласие как по положению отдельных максимумов, так и по их величине и форме.

6. Сечение реакции $^{18}\text{O} [(\gamma, n) + 2(\gamma, 2n)]$. Большой интерес представляют результаты сравнения сечений реакции $^{18}\text{O} [(\gamma, n) + 2(\gamma, 2n)]$ [7]. Авторы используют КМИ-выход, измеренный при полуширине линий $\Delta = 0,2$ МэВ (рис. 4, а), и сравнивают его с ТИ-сечением (рис. 4, б). Детальное сравнение этих данных (таблица) свидетельствует о том, что по энергетическому положению максимумов наблюдается соответствие, а по амплитудам и ширинам — различие на 10—20% (структура вновь оказывается сглаженной).

E, МэВ	Данные работы [6]		Наши данные	Данные работы [6]		Наши данные
	$\sigma_{\text{ТИ}}$, мб	$\sigma_{\text{КМИ}}$, мб	$\sigma_{\text{ТИ}}/\sigma_{\text{КМИ}}$	$\Gamma_{\text{ТИ}}$, мб	$\Gamma_{\text{КМИ}}$, мб	$\Gamma_{\text{ТИ}}/\Gamma_{\text{КМИ}}$
9,1	1,4	1,1	1,27	0,4	0,6	1,5
10,3	6,5	5,3	1,23	0,4	0,9	2,25
11,5	11,5	9,0	1,27	0,6	0,7	1,17
13,1	8,5	8,6	0,99	0,6	0,7	1,17
13,8	8,5	6,9	1,23	0,6	0,6	1,0
14,8	14,0	13,1	1,07	0,6	0,8	1,33
15,8	13,0	10,9	1,19	0,7	0,7	1,0
23,7	21,0	17,7	1,19	1,8	2,5	1,38

Γ — полуширина линии.

Нами были выполнены редуционные расчеты с использованием КМИ-спектра с заданной полушириной линии $\Delta=0,2$ МэВ и различными амплитудами тормозной подложки D . На рис. 4, а приведено редуцированное сечение $\sigma_{\text{КМИ}}$ для $D=2\%$. Согласие сечений $\sigma_{\text{КМИ}}$ и $\sigma_{\text{ТИ}}$ и по форме, и по величине дает основание для предсказания наличия в КМИ-спектре никак не учтенной тормозной подложки именно с такой амплитудой.

Выводы.

1. Основная причина расхождений КМИ-выходов и ТИ-сечений — отличие формы фотонного КМИ-спектра от δ -функции.

2. Большие значения параметров Δ и D реальных КМИ-спектров делают необходимой дополнительную обработку КМИ-выходов путем решения интегрального уравнения (1).

3. Метод редукиции позволяет эффективно восстанавливать сечения при наглядном представлении взаимосвязи параметров «разрешение — шум».

4. Метод редукиции позволяет оценить качество экспериментов с точки зрения возможности обработки и интерпретации их результатов. Показано, что качество ТИ-экспериментов зачастую выше качества КМИ-экспериментов.

5. КМИ-сечения, восстановленные методом редукиции, хорошо согласуются с ТИ-сечениями. Использование дополнительных измерений снижает ошибки восстановления.

СПИСОК ЛИТЕРАТУРЫ

- [1] Bergman B. L., Fultz S. C. Rev. Mod. Phys., 1975, 47, p. 713. [2] Варламов В. В. и др. Тез. докл. XXIII Совещ. по ядерной спектроскопии и структуре атомного ядра. М., 1983, с. 353. [3] Пытьев Ю. П. Задачи редукиции в экспериментальных исследованиях. Мат. сб., 1983, 120, № 2, с. 240. [4] Fultz S. C. et al. Phys. Rev., 1966, 143, p. 790. [5] Lochstetf W. A., Stephens W. E. Phys. Rev., 1966, 141, p. 1002. [6] Ишханов Б. С. и др. Ядерная физика, 1971, 14, с. 253. [7] Rywiel Y. E., Thompson M. N., Bergman B. L. Nucl. Instrum. and Meth., 1980, 178, p. 149.

Поступила в редакцию
19.01.84